

## (الفصل السادس)

### تحديد تركيب بوسائل باترسون

### Structure determination by Patterson methods

إن "حل" تركيب بلوري يكون في الغالب دائمًا نتيجة لتقريبات متعاقبة، مستخددين حقيقة أن التركيب المكرر ونموج الحبيود يرتبطان بعضهما بجمع فوري. يقال للتركيب عادة بأنه قد حل عندما يتم تحديد مواضع معظم الذرات في الخلية وحدة التركيب. بصفة عامة عند البداية يكون الوضع العادي هو:

نموج الحبيود	تركيب
ساعات معلومة	محتويات خلية معلومة
أطوار غير معلومة	مواضع غير معلومة

إن معرفة مواضع قليلة لذرة سوف يساعد بشكل أفضل أن نحسب الأطوار النموج حبيود كامل، ناتجًا عنه خريطة كثافة إلكترونية أفضل وكشف إضافي عن ذرات. بالمثل فإن قيم تقريرية لبعض أطوار سوف يجعل بالإمكان أن نحسب الخريطة التي فيها قد تتحدد المواضع لبعض ذرات على الأقل. إن الوسائلتين الأكثر أهمية لتحديد التركيب، "باترسون" وطرق "مباشرة"، مختلفان في أن الأولى تبدأ بالحصول على بعض معلومات عن مواضع الذرة، بينما تبدأ الثانية ببعض معلومات عن أطوار.

إن أسس وسائل باترسون تكون سهلة جدًا، تكون مشكلة الطور ببساطة مهملة. كما هو مناقش في الفصل الأخير، يمكن للكثافة الإلكترونية عند أي نقطة في خلية وحدة التركيب (p) أن تكون محسوبة هكذا:

$$(8,1) \quad \rho(xyz) = (1/V) \sum_h \sum_k \sum_l \{ |F(hkl)| \cos[2\pi(hx + ky + lz) - \phi(hkl)] \}$$

حيث  $V$  هو حجم خلية وحدة التركيب، ويكون الجمع على كل البيانات  $F(hkl)$  و  $\phi(hkl)$ . إن الأطوار بالطبع تكون غير معروفة في البداية، لكن الجمع الذي يمكن أن يتم إجراؤه دائمًا هو:

$$(8,2) \quad P(uvw) = (1/V) \sum_h \sum_k \sum_l \{ |F(hkl)|^2 \cos[2\pi(hu + kv + lw)] \}$$

تسمى هذه الدالة "بدالة باترسون" نسبة إلى واضعها، أ.ل. باترسون A.L. Patterson. إن معناها يمكن أن يوضع بتذكر أن سعة كل عامل تركيب منفرد يحتوي على معلومة مثل كيف يمكن لجزمة معينة من مستويات أن تعمل كمحرر حيود للأشعة السينية. يعني هذا أن ساعات كبيرة تكون مقابلة لمستويات تكون المسافات والتوجهات لها معنكسنة بشدة في ترتيب ذري. تكون الأطوار مطلوبة لكي نشرك تلك المعلومة بداخل تمثيل يمكن تقديره للتركيب. لو وضعت كل الأطوار عند الصفر (أو عند أي قيمة أخرى)، سوف تبقى المعلومة، لكن سوف لا يكون من السهل كثيراً أن تفسر. إن ما تمثله هذه الدالة قد يمكن مشاهدته في بعد واحد كالتالي: اعتبر معادلات

عامل التركيب لـ  $F(h)$  و  $F(-h)$ .

$$(8,3) \quad F(h) = \sum_m f_m \exp(2\pi i h x_m) \quad F(-h) = \sum_n f_n \exp(-2\pi i h x_n)$$

$$|F(h)|^2 = F(h) \times F(-h) = \sum_m \sum_n f_m f_n \exp(2\pi i h(x_m - x_n))$$

أو بكلمات، تتضمن حزمة القيم  $|F(h)|^2$  عوامل التركيب لتركيب يتكون من أهداف تكون قيمها هي نواتج تلك لكل زوجين من الذرات في التركيب  $f_m f_n$  وتكون مواضعها هي المتجهات بين مواضع الذرة تلك،  $(x_m - x_n)$ . نفس طريقة المناقشة يمكن إجراؤها في ثلاثة أبعاد.

إن استخدام  $uvw$  محل  $xyz$  هو أن نؤكّد على أن "الحيز أو الفراغ" الذي يجرى فيها جمع باترسون لا تكون مساحة عادية. إن نتيجة تحول فوريير لهذه الدالة هي تلك القمم في الخريطة، التي لها نفس أبعاد خلية وحدة التركيب كما في خريطة فوريير المعتادة، لا تمثل بعد الآن مواضع كثافة إلكترونية، لكن متجهات كثافة إلكترونية، بعبارة أخرى، تمثل قيمة عالية احتمالية مرتفعة لكون الإلكترونات مفصولة في التركيب بنفس المتجه كما تفصل القمم عن أصل خلية وحدة التركيب، وعلى تدرج مطلق، تقادس الكثافات عادة بـ  $\text{e}^2 \text{\AA}^{-3}$ .

إن بناء خريطة باترسون قد يمكن تصورها بطريقة بديلة على أنها تحرك كل متجه بين ذرات بالتبادل إلى أصل خلية وحدة التركيب بدون تغيير اتجاهه. هناك سمات عديدة للخريطة الناتجة.

١- لعدد  $n$  من الذرات في خلية وحدة التركيب سيكون هناك  $n^2$  قمة ممكنة في خريطة المتجه.

٢- سوف يكون لكل قمة ارتفاع يتاسب مع حاصل ضرب الأعداد الذرية للذرات التي يكون الفصل معبراً عنها.

٣- عادة سوف لا تكون كل من هذه محلولة، وفي أي حالة سوف يتطابق عدد  $n$

منها عند الأصل، حيث تقع القمة الأكبر في الخريطة.

٤- حيث إن كل الأطوار تكون صفرًا أو حيث إن كل متوجه  $B \rightarrow A$  يكون مطابقاً لمتوجه  $A \rightarrow B$  سوف يكون للخريطة نقطة انقلاب عند نقطة الأصل.

٥- تصبح المحاور اللولبية ومستويات الانزلاق في التركيب محاور دوران ومستويات مرآة في باترسون.

من هذا، تؤثر النقطتين 4، 5 على الزمرة الفراغية المحتملة لدالة باترسون. حيث إن  $\phi = \phi$  لكل البيانات، فلا بد لزمرة باترسون الفراغية أن تكون متماثلة مركزياً. يختفي أيضاً التماثل الخاص بالانتقال، حيث إن محور 2<sub>1</sub> يتضمن أن  $(\bar{hkl}) = \pi + \phi(hkl) = \phi(hkl)$ . نتيجة هذين الشرطين هو أن الزمرة الفراغية فقط التي يمكن أن تمثل دوال باترسون هي تلك 24 المعطاة في الجدول رقم (٨,١).

رغم حقيقة أن دالة باترسون لا تحتفظ بزمرة الفراغية للتركيب، فإنها قد تعطي أحياناً معلومات مهمة في حالات تكون فيها الزمرة الفراغية غامضة. بعضًا من هذا سوف يُذكر فيما يلي:

من الواضح أن متوجه خريطة يصبح صعباً أن يفسر بطريقة غير مبهمة كلما ازداد عدد الذرات، لكن يوجد هناك وضعان تكون فيهما خريطة باترسون مفيدة بشكل أساس:

- ١- عندما يكون عدد صغير من ذرات في الخلية وحدة التركيب أثقل بشكل ملحوظ عن الأخرى، ويكون التركيب، لنقريب أول، هو تركيب تلك الذرات فقط. يسمى هذا طريقة الذرة الثقيلة *heavy atom method*.

-٢ عندما يكون عدد وفيرة من الذرات لها ترتيب معروف بحيث يكون من السهل حساب المتجهات القائمة داخل جزيئاتها وتكون اتجاهاتها فقط غير معلومة. تسمى هذه طريقة بحث باترسون.

**الجدول رقم (٨،١). زمرة باترسون الفراغية.**

زمرة باترسون (مع عدد زمرة فراغية مقابلة)	الزمرة الفراغية الفعلية
$P\bar{1}$ أو $P1$	$P\bar{1}$ (2)
$P$ كل أحدادي الميل	$P2/m$ (10)
$C$ كل أحدادي الميل	$C2/m$ (12)
$p$ كل متعماد الأضلاع	$Pmmm$ (47)
$C$ كل متعماد الأضلاع	$Cmmm$ (65)
$F$ كل متعماد الأضلاع	$Fmmm$ (69)
$I$ كل متعماد الأضلاع	$Immm$ (71)
رباعي $P$ , فنة $\bar{4}$ أو $4$	$P4/m$ (83)
رباعي $I$ , فنة $\bar{4}$ أو $4$	$I4/m$ (87)
رباعي $P$ , فنة $422$ , $4mm$ , $\bar{4}m2$ أو $4/mmm$	$P4/mmm$ (123)
رباعي $I$ , فنة $422$ , $4mm$ , $\bar{4}m2$ أو $4/mmm$	$I4/mmm$ (139)
$\bar{3}$ ثلاثي $P$ , فنة $3$ أو $\bar{3}$	$P\bar{3}$ (147)
$\bar{3}$ ثلاثي $R$ , فنة $3$ أو $\bar{3}$	$R\bar{3}$ (148)
$\bar{3}1m$ ثلاثي $P$ , فنة $31m$ أو $31$	$P\bar{3}1m$ (162)
$\bar{3}m1$ ثلاثي $P$ , فنة $3m1$ أو $13$	$P\bar{3}m1$ (164)
$\bar{3}m$ ثلاثي $R$ , فنة $32$ , $3m$ أو $3$	$R\bar{3}m$ (166)
سداسي $P$ , فنة $6$ أو $\bar{6}$	$P6/m$ (175)
سداسي $P$ , فنة $622$ أو $6mm$	$P6/mmm$ (191)
مكعب $P$ , فنة $23$ أو $\bar{m}\bar{3}$	$Pm\bar{3}$ (200)
مكعب $F$ , فنة $23$ أو $\bar{m}\bar{3}$	$Fm\bar{3}$ (202)
مكعب $I$ , فنة $23$ أو $\bar{m}\bar{3}$	$Im\bar{3}$ (204)
مكعب $P$ , فنة $432$ , $\bar{4}3m$ أو $m\bar{3}m$	$Pm\bar{3}m$ (221)
مكعب $F$ , فنة $432$ , $\bar{4}3m$ أو $m\bar{3}m$	$Fm\bar{3}m$ (225)
مكعب $I$ , فنة $432$ , $\bar{4}3m$ أو $m\bar{3}m$	$Im\bar{3}m$ (229)

لخريطة باترسون سمة ثابتة هي القمة الكبيرة عند نقطة الأصل من عدد  $n^2$  من القمم في الخلية فإن عدد  $n$  سوف يكون متطابقاً مع الأصل، الذي يمثل الفصل لكل ذرة عن نفسها. يكون ارتفاعها متناسب مع  $\Sigma Z^2$  لكل الذرات في الخلية وحدة التركيب، بحيث تكون مفيدة للحصول على فكرة تقريرية عند مقاييس الارتفاعات لقمة باترسون. لمعظم الحالات لا تكون هذه مشكلة خطيرة. توجد هناك عدة طرق لإزالتها. إحداها هي أن نحدد قيمة  $|F^2|$  المتوسطة كدالة في  $\sin\theta$ ،  $\langle |F^2| \rangle_0$  وأن تستخدم  $\langle |F^2| \rangle_0 - |F^2|$  كمعاملات بدلاً من  $|F^2|$ ، مع ملاحظة أن بعض المعاملات سوف يكون لها إشارة سالبة. يمكن لهذا التناوب أن يكون متشاركاً فعلياً مع تعديل آخر لدالة باترسون "تشحذها". إن باترسون "المشحذة بالكامل" هي التي يكون فيها عوامل التركيب المسوأة  $|E^2|$  هي المستخدمة محل  $|F^2|$ . يكون لهذا ميزة إعطاء ثقل أكبر بكثير للتحليل العالي للبيانات وحل بعض القمم في خريطة المتجه التي ستكون من ناحية أخرى متصلة. أن لها ضرر هو انه كلما كان التحليل مرتفع تكون هناك دقة أقل وكلما كانت قريبة للبيانات التي لا تكون قد تم قياسها، سيكون هناك بعض تعريف زائف في الخريطة. إن تسوية ملائمة معتادة هي أن نستخدم  $|EF|$  كمعاملات باترسون. لو تم العمل التدريجي بشكل صحيح فإن باترسون مشحذة متزوعة نقطة الأصل يمكن حسابها باستخدام  $|E^2| - 1$  كمعاملات.

#### (٨،١) طريقة الذرة الثقيلة The heavy atom method

إن أبسط مثال لتطبيق دالة باترسون هي جزيء بذرء ثقيلة واحدة، يتبلور في زمرة فراغية  $\bar{P}1$  بجزيئين في الخلية وحدة التركيب يرتبطان بمركب انقلاب. إذا كانت إحداثيات واحدة من هاتين الذرتين هي  $x, y, z$  (وتلك للأخرى  $-x, -y, -z$ )، ينبغي أن يكون بالإضافة إلى القمة الأصل، قمتين بارزتين متساويتين في الخريطة عند  $(u, v, w)$

و  $(2x, 2y, 2z)$  لا تحدد موضعاً منفرداً حيث أن  $u$  لا يمكن تمييزها عن  $+1$ . هكذا يوجد هناك اختيار لثمان مواضع بنفس القيم  $\frac{1}{2}+x, y, \frac{1}{2}+z ; \frac{1}{2}+x, y, z ; x, \frac{1}{2}+y, \frac{1}{2}+z ; x, y, \frac{1}{2}+z ; x, y, z : 2x, 2y, 2z$  و  $\frac{1}{2}+x, \frac{1}{2}+y, \frac{1}{2}+z ; \frac{1}{2}+x, \frac{1}{2}+y, z$ . عملياً لتحديد كل زوج منفرد من الذرات، تكون كل من هذه متكافئة، حلول صحيحة متكافئة حيث إنها تمثل جميعها اختيارات مختلفة من مركز الانقلاب الذي يحدد نقطة الأصل الخلية وحدة التركيب. بالإضافة، حيث إن كل ذرة عند  $x, y, z$  تتضمن ذرة مطابقة عند  $-z, -y, -x$ ، فإن أي من هذه المواضع قد تستخدم على أنها الموقع المختار للذرة. يوجد بصفة عامة 16 موقعاً في الخلية وحدة التركيب التي قد تختار اعتباطياً لتحديد موقع الذرة الموجودة بواسطة تفسير دالة بواسون!

تنشأ مشكلة أكثر إثارة عندما تكون هناك ذرتين ثقيلتين مستقلتين  $\bar{A}$  وباحتياطيات (A) و (B) على طول مع  $x, y, z$  و  $x', y', z'$ ، يكون الستة عشر متوجهًا من الأربع ذرات كالتالي:

$$A-A: 0, 0, 0$$

$$B-A: -\delta x, -\delta y, -\delta z$$

$$C-A: -2x, -2y, -2z$$

$$D-A: -\sigma x, -\sigma y, -\sigma z$$

$$A-B: \delta x, \delta y, \delta z$$

$$B-B: 0, 0, 0$$

$$C-B: -\sigma x, -\sigma y, -\sigma z$$

$$D-B: -2x', -2y', -2z'$$

$$A-C: 2x, 2y, 2z$$

$$B-C: \sigma x, \sigma y, \sigma z$$

$$C-C: 0, 0, 0$$

$$D-C: \delta x, \delta y, \delta z$$

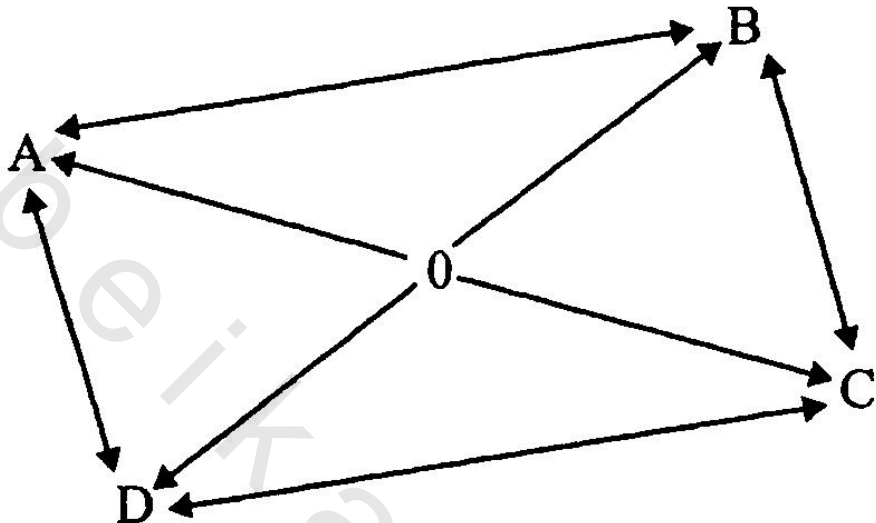
$$A-D: \sigma x, \sigma y, \sigma z$$

$$B-D: 2x', 2y', 2z'$$

$$C-D: -\delta x, -\delta y, -\delta z$$

$$D-D: 0, 0, 0$$

سوف يظهر الفحص أن هذه تختزل إلى قمة بثقل رباعية عند  $(0, 0, 0)$ ، أزواج من قمم بثقل ثنائي عند  $(\pm(\delta x, \delta y, \delta z), \pm(\sigma x, \sigma y, \sigma z))$ ، وزوج من قمم أحادية الثقل  $\pm(2x, 2y, 2z)$  و  $\pm(2x', 2y', 2z')$ . تبين هذه تخطيطياً في الشكل رقم (٨, ١).



الشكل رقم (١، ٨). متوجهين لذرتين ثقيليتين مستقلتين في زمرة فراغية  $\bar{P}$ .

كما مر آنفًا، يكون  $n^2$  من المتجهات متطابقاً مع نقطة الأصل. بصفة عامة، علاوة على ذلك سوف تقييد اعتبارات التماثل عدد القمم. حيث أن هذا التركيب يكون متماثلاً مركزيًا سوف يكون هناك عدد  $n$  قمة بشغل منفرد في الموضع  $2x, 2y, 2z, \dots$  إلخ، وسوف تكون القمم  $n^2 - 2n$  المتبقية في الحقيقة مكونة من  $\frac{1}{2}(n^2 - 2n)$  قمة من الثقل الثنائي عند الموضع  $x-x', y-y', z-z'$ ... إلخ، بين ذرات لا ترتبط بعضها البعض بمركز انقلاب. في هذه الحالة قد يختار أحد مواقع الكرة ليقع في أي من الموضع 16 كما هو آنفًا. سوف تكون الكرة الأخرى مقيدة الآن في أحد الموقعين ذات العلاقة

$$. -x', -y', -z', x', y', z'$$

إن مثالاً شائعاً إلى حد ما في الكيمياء التناسقية يتكون من جزيء واحد في الوحدة اللامتماثلية للخلية متعامدة الأضلاع. الأكثر شيوعاً من هذه الزمر الفراغية هي  $P_{2121}$  (لا متماثلة مركزيًا). تكون الموضع العامة المكافئة هي:

$$A: x, y, z$$

$$B: \frac{1}{2} + x, \frac{1}{2} - y, -z$$

$$C: \frac{1}{2} - x, -y, \frac{1}{2} + z$$

$$D: -x, \frac{1}{2} + y, \frac{1}{2} - z$$

مع أربع ذرات للدراسة يكون هناك 16 متجهاً، منها أربعة تتطابق على نقطة الأصل. سوف يكون الـ 12 المتبقية:

$$A-B: \frac{1}{2}, \frac{1}{2} + 2y, 2z$$

$$A-D: 2x, \frac{1}{2}, \frac{1}{2} + 2z$$

$$A-C: \frac{1}{2} + 2x, 2y, \frac{1}{2}$$

$$B-A: \frac{1}{2}, \frac{1}{2} - 2y, -2z$$

$$D-A: -2x, \frac{1}{2}, \frac{1}{2} - 2z$$

$$C-A: \frac{1}{2} - 2x, -2y, \frac{1}{2}$$

$$C-D: \frac{1}{2}, \frac{1}{2} - 2y, 2z$$

$$C-B: -2x, \frac{1}{2}, \frac{1}{2} + 2z$$

$$D-B: \frac{1}{2} - 2x, 2y, \frac{1}{2}$$

$$D-C: \frac{1}{2}, \frac{1}{2} + 2y, -2z$$

$$B-C: 2x, \frac{1}{2}, \frac{1}{2} - 2z$$

$$B-D: \frac{1}{2} + 2x, -2y, \frac{1}{2}$$

ينبغي ملاحظة أن هذه القمم تماثل  $(D_{2h})$  أي أن باترسون يكون متماثلاً مرکزاً وحالياً من تماثل انتقال حتى عندما لا يكون التركيب ليس كذلك، وهذا يكون هناك ثلاثة قمم مستقلة لكي تحدد مواقعها. في القائمة أعلاه، يتكون كل عمود من قمة ترتبط بالثلاثة الأخرى بمحور دوران ذي نقلتين حول  $x$ ,  $y$  و  $z$  على الترتيب. أيضاً لاحظ أن كل من هذه القمم تكون مقيدة على مستويات معينة - في هذه الحالة، حيث يكون  $u$ ,  $v$  و  $w$  بقيمة  $\frac{1}{2}$ . قمم من هذا النوع تسمى قمم هاركر Harker وواحدة من هذا النوع (مستويات هاركر) تحدث عندما تكون الذرات مرتبطات ببعضهما بمحور دوران أو لولي. هكذا فإنه يكون من السهل من حيث المبدأ أن نعثر عليها وأن نختبر أن أي حزمة محاولة من القيم  $x$ ,  $y$ ,  $z$  تعطي كل قممها المتباينا.

كمثال آخر، اعتبر ذرة ثقيلة منفردة في الزمرة الفراغية متماثلة مركزياً  $\text{Pbca}^{\dagger}$

تكون الواقع المتكافئة هي:

- |   |   |
|---|---|
| A: $x, y, z$                              | B: $\frac{1}{2} + x, \frac{1}{2} - y, -z$ |
| C: $\frac{1}{2} - x, -y, \frac{1}{2} + z$ | D: $-x, \frac{1}{2} + y, \frac{1}{2} - z$ |
| E: $-x, -y, -z$                           | F: $\frac{1}{2} - x, \frac{1}{2} + y, z$  |
| G: $\frac{1}{2} + x, y, \frac{1}{2} - z$  | H: $x, \frac{1}{2} - y, \frac{1}{2} + z$  |

أي تلك لـ  $P2_{1}2_{1}2_{1}$  مع مركز انقلاب. إن العدد 64 الكلي الضخم إلى حد ما من قمم باترسون، ليس في الواقع مثبط للهمة. ثمانية سوف تتطابق الآن مع نقطة الأصل والـ 12 قمة بشغل منفرد الموجودة لـ  $P2_{1}2_{1}2_{1}$  سوف تكون الآن ثنائية الثقل، حيث إن A-B على سبيل المثال يكون مكافئاً تماماً لـ F-E. ما يزال هناك 32 قمة. ثمانية من هذه ستكون منفردة الثقل، مقابلة لذرات مرتبطة بمركز انقلاب.

- |                      |                     |
|----------------------|---------------------|
| A-E: $2x, 2y, 2z$    | B-D: $2x, -2y, -2z$ |
| E-A: $-2x, -2y, -2z$ | D-B: $-2x, 2y, 2z$  |
| C-G: $-2x, -2y, 2z$  | D-H: $-2x, 2y, -2z$ |
| G-C: $2x, 2y, -2z$   | H-D: $2x, -2y, 2z$  |

تُكون الـ 24 قمة المتبقية حزمة أخرى من قمم هاركر، هذه المرة ست قمم من رباعية الثقل، مميزة لذرات مرتبطة بمستويات ازلاق أو مستويات مرآة. تقع القمم على خطوط خاصة (خطوط هاركر) ولهما فقط متغير واحد:

- A-F, B-E, G-D, H-C:  $\frac{1}{2} + 2x, \frac{1}{2}, 0$   
 A-H, D-E, G-B, F-C:  $0, \frac{1}{2} + 2y, \frac{1}{2}$

$$A-G, C-E, H-B, F-D: \frac{1}{2}, 0, \frac{1}{2} + 2z$$

$$F-A, E-B, D-G, C-H: \frac{1}{2} - 2x, \frac{1}{2}, 0$$

$$H-A, E-D, B-G, C-F: 0, \frac{1}{2} - 2y, \frac{1}{2}$$

$$G-A, E-C, B-H, D-F: \frac{1}{2}, 0, \frac{1}{2} - 2z$$

في الخلاصة، لذرة ثقيلة منفردة في موقع عام Pbca (أو أي زمرة فراغية متعامدة الأضلاع، متماثلة مركزية، أولية) يوجد هناك 7 قمم مستقلة:

قمة واحدة بثقل 8 عند نقطة الأصل

6 قمم بثقل 4 على خطوط هاركر، مرتبطة بالتماثل في أزواج (3)

12 قمة بثقل 2 على مستويات هاركر، مرتبطة بالتماثل في رباعيات (3)

8 قمم بثقل 1 في موقع عادية، مرتبطة بكل التماثل (1)

تنشأ أحياناً مشكلة عندما تكون الذرة بالقرب من موقع الذي يجعل القمم العامة وقمم هاركر لا يمكن التمييز بينها. اعتبر تركيباً في Pbca بذرة ثقيلة عند  $x = 0.1$ ،  $y = 0.25$  و  $z = 0.3$ . سوف تكون هناك قمم من النوع A-E عند 0.2، 0.4، 0.6، 0.8 و 0.0.5 ومن النوع A-C عند 0.7، 0.6 و 0.5. لكن أيهما يكون هو ذاك؟

إن تفسير هذه القمم بطريقة أخرى يعطي قيم متساوية بشكل مقبول  $x = 0.35$ ،  $y = 0.3$ ،  $z = 0.25$ ، التي لا تكون مكافئة للإجابة الصحيحة. في الحقيقة تكون حزمة المنتجه للذرارات الثقيلة فقط متكافئة ويكون هناك مبدئياً حل مأمول، الذي لا يكشف رغم ذلك عن ذرات أخرى. كن حريصاً بصفة خاصة بحلول بواسطة  $x$ ،  $y$  أو  $z$  بالقرب

من 0،  $\frac{1}{4}$  أو  $\frac{1}{2}$ !

تعمل طريقة الذرة الثقيلة جيداً عندما تكون القمم في باترسون المعتمدة على الذرة الثقيلة فقط معرفة جيداً. يحدث هذا عادة لو أن الوحدة اللا متماثلة تحتوي فقط

على ذرة واحدة مثل النحاس ( $z = 29$ )، أو ذرة أثقل في وجود 20-30 ذرة لا تكون أثقل من الأكسجين ( $z = 8$ ). إن هذا بسبب أن نسبة الارتفاع لقمة متوجه Cu-Cu إلى ذاك لقمة متوجه Cu-O تكون  $= 3.6 = (29 \times 8) / (29 \times 29)$ . قد تنشأ مشاكل لو أن أربع متجهات Cu-O أو أكثر يحدث أن تكون متوازية وهذا لا يكون شائعاً على الإطلاق مع مركبات تناسقية. في بعض الأحيان محاولات عديدة لابد من عملها لتفسير نموذج المتوجه. إذا كانت "النردة الثقيلة" أخف بكثير، مثل P أو S ( $z = 15$  أو  $16$ )، فإن المتجهات الصحيحة قد يمكن في بعض الأحيان تمييزها، لكن لا تكون الأطوار المحسوبة اعتماداً على موقع الخبرة جيدة بدرجة كافية لتعطي خريطة فورير مفسرة. تنشأ مشكلة أخرى عندما تكون الذرات الثقيلة في موقع معينة بحيث إنها لا تساهم في كل البيانات. في كل هذه الأحوال يمكن في الغالب عمل تقدم باستخدام أطوار محددة بشكل تقريري مع طرق مباشرة قريبة لأطوار أخرى، للحصول على خريطة مفسرة.

#### (٨,٢) تقنيات بحث باترسون Patterson search techniques

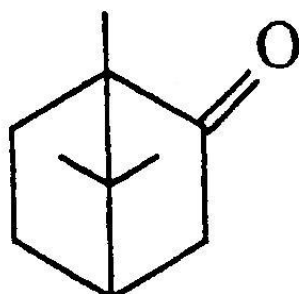
التطبيق الرئيس الآخر لطرق باترسون هي في طرق "بحث باترسون" عندما يكون ترتيب ذرات في جزء من التركيب معروف من شغل سابق. تلك الشظوية سوف يكون لها نموذج متوجه مميز الذي قد يكون غالباً أداة قوية في حل التركيب. جزيء، زمرة أو متصلة (ليجاند) ستكون غالباً ملائمة، خاصة، لو أن لها نظام مندمج، غير مستوى الحلقة. اعتبر، على سبيل المثال جزيء كافور Camphor الشكل رقم (٨,٢).

يكون هذا الجزيء كيرالي chiral، لكن يكون له تماثل قرب ( $C_{2v}$ ). سوف تكون المتجهات ضمن الجزيئات خاصة تلك بطول  $5\text{\AA}$  أو أقل معقدة وسوف تتدخل بشكل ملحوظ، لكنها يمكن أن تختلف قليلاً جداً في التوجّه النسبي من تركيب آخر. هكذا فإنه يكون من الممكن عادة أن نبحث خريطة باترسون أوتوماتيكياً ونحل مركبات

معقدة إلى حد ما معلومية أن تلك الزمرة توجد في التركيب الذي سيحل. لقد تم تطوير هذه الطرق على مدى واسع في كريستالوجرافيا الجزيئات الكبيرة. تكون هناك مرحلتين بحث.

### بحث دوران (Rotation search) (٨,٢,١)

بصفة مبدئية، تصنع خريطة متوجهة محسوبة من إحداثيات "الشظية المعلومة". في هذه المرحلة يتم اعتبار فقط الجزء من خريطة باترسون في مدى، لنقل 5-6 Å من نقطة الأصل، حيث إن متجهات قليلة في هذه المنطقة سوف تكون متجهات بين الجزيئات. يوضع النموذج المحسوب للزمرة المعلومة عند نقطة الأصل من دالة باترسون المحسوبة وتدار بشكل نظامي حول ثلات محاور بطريقة تعطي شبكة إحداثيات مرجعية مستوية إلى حد ما في "حَيْز دوران". تستعمل لهذا عدة طرق، واحدة منها تكون مشابهة لرواية ايليريان Eulerian المستخدمة في هندسة جهاز قياس الحيوان، تسمى الزوايا A، B و C (A تقابل  $\omega$ ، B ت مقابل  $\chi$  و C ت مقابل  $\phi$ ). عندما تكون  $0 = B$  تكون A و C دورانات حول نفس المحور، بينما عندما تكون  $\pi/2 = B$  رadianات، تكون A و C دورانات حول محاور متعامدة بالتبادل. عملياً لا يكون البحث كبيراً، كما يتوقع.



الشكل (٨,٢). التركيب الجزيئي للكافور camphor.

حيث إن خرائط باترسون تكون متماثلة مرکزياً، فإن نصف المتجهات فقط تكون في حاجة إلى دراستها وهي خاصية نظام ايليريان في أن الدوران  $A$  ،  $B$  ،  $C$  يكون مماثلاً (مطابقاً) في تأثيره للدوران  $A + C - B$  ،  $\pi + C - B$  ، هكذا فإن نصف مجال الدوران يكون في حاجة إلى أن يفحص على أي حال، في مجموعة متعامدة الأضلاع، فإن الجزيء المختبر دائماً موجوداً في أربعة مصفوفات مختلفة، وأي واحدة من هذه سوف تفعل، ما دامت تحتاج إلى ثمن المجال لكي يفحص. تعطى الوحدة اللا تماثلية للدوران في الجدول رقم (٨,٢) لنموذج غير متماثل دواري في خرائط الثلاث تماثلات الأكثر شيوعاً.

الجدول رقم (٨,٢). مدى الالامات المدوى لدوال باترسون للدوران.

	$A$ مدى	$B$ مدى	$C$ مدى
$P\bar{1}$ ، ثلاثي الميل	$0-2\pi$	$0-\pi$	$0-2\pi$
$P2/m$ ، أحادي الميل	$0-2\pi$	$0-\pi/2$	$0-2\pi$
$Pmmm$ ، متعامد الأضلاع	$0-2\pi$	$0-\pi/2$	$0-\pi$

عند كل موقع، يحسب ناتج كثافة المتجه للنموذج الدوار وخرائط باترسون المشاهدة عند مدى من نقاط شبكة إحداثيات مرجعية وتجمع هذه النواتج. بقدر ما تكون هذه القيم كبيرة، يكون الاحتمال الأكبر لتوجه بحث الشظية مقابل للتوجه السائد لخرائط المتجه. تشير القيمة العظمى لجمع هذه النواتج إلى درجة عالية من التطابق. لبعض المواجهة الجيدة، يتم عمل بحث ثان عن شبكة إحداثيات مرجعية أدق وختيار التوجيهات الأفضل للمرحلة القادمة من العملية.

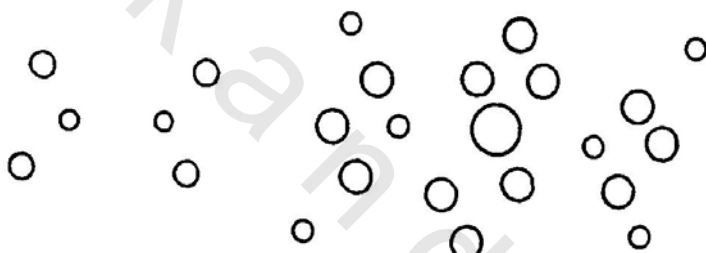
### ٨،٢،٢) بحث انتقال Translation search

مع توجه مختار، يُحل التركيب للبلازما في زمرة فراغية P<sub>1</sub>، حيث إن أي نقطة قد يمكن اختيارها بشكل عشوائي كنقطة أصل. في أي حالة أخرى، لابد لموقع شظوية معروفة نسبة إلى عناصر التماثل أو بشكل بديل، موقع نقطة الأصل خلية وحدة التركيب نسبة إلى الشظوية أن يتم إيجادها. قد يحدث هذا بتدرج ذرات شظوية البحث الموجهة خلال خلية وحدة التركيب، حساب الذرات ذات العلاقة التماثلية ومقارنة المتجهات بين الجزيئات بتلك في خريطة باترسون بطريقة مشابهة لتلك المستخدمة لدالة الدوران. لو كانت الطريقة ناجحة، يتم الحصول على حزمة من مواقع اختبار في خلية وحدة التركيب للذرات الخاصة بشظوية البحث، ويمكن للتركيب أن يتم تطويره عادة هنا. مرة أخرى، لا تكون طريقة البحث كبيرة بقدر المتوقع. في زمرة فراغية مثل P<sub>2</sub>, حيث لا تثبت نقطة الأصل على طول محور واحد، يكون المطلوب فقط هو بحث في بعدين. للزمرة الفراغية الأولية ثلاثي الميل، أحادي الميل ومتعمد الأضلاع، فإن الحيز الذي يجب أن يستكشف مبين في الجدول رقم (٨,٣).

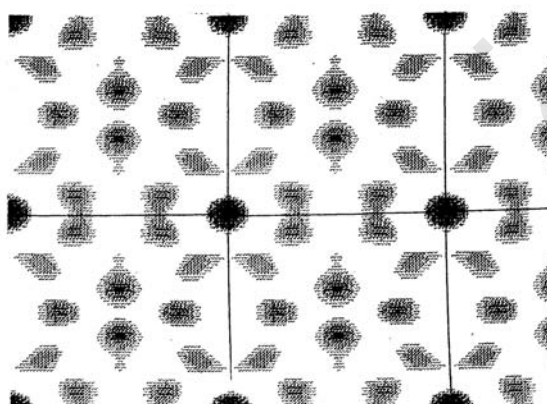
عملياً يكون المدخل المباشر نادر الاستخدام، حيث إن حسابات مكافحة يمكن عملها بشكل أبسط بكثير جداً. في طريقة "الارتباط" تكون البيانات متعددة (لو هاماً) لحزمة ثلاثي الميل وتكون عوامل التركيب محسوبة للشظوية الموجهة لكل حزمة من انعكاسات بعلاقة تماثل. يمكن للبيانات حينئذ أن يعاد ترتيبها داخل عوامل فورير للمجموع  $\Sigma F_{\alpha}^2 F_{\beta}^2$ , حيث تمثل  $t$  المتجه من نقطة الأصل الحالية إلى الفعلية. سوف يكون لها أبعاد عديدة كما هو مطلوب آنفًا للبحث. سوف تكون لهذه الدالة قيمة عظمى حيث تتدخل متجهات ذرية عديدة ومن ثم ينبغي أن تكون النقطة الأعلى مقابلة للأصل الصحيح.

الجدول رقم (٨,٣). مدى دوال الانتقال لباترسون.

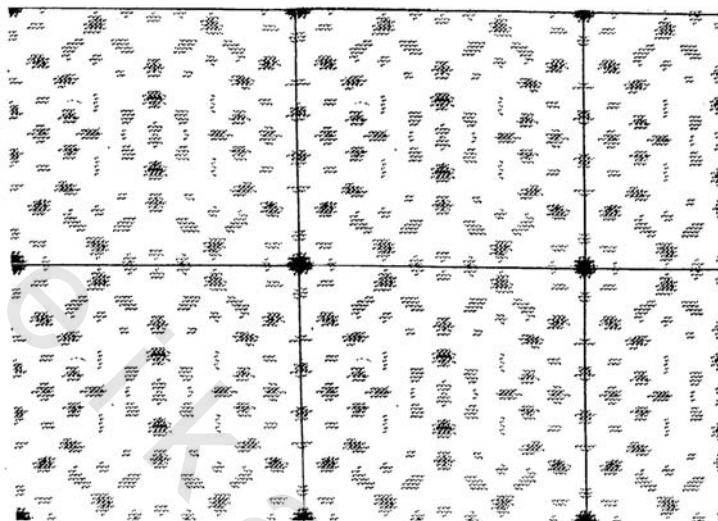
عنصر التماثل	أبعاد البحث	حدود "خلية وحدة التركيب"		
$\bar{1}, 222, \bar{1} \dots$ إلخ.	3	$0-a/2$	$0-b/2$	$0-c/2$
$b_1$ أو $2$ (موازي $b$ )	2	$0-a/2$	-	$0-c/2$
(عمودي على $b$ ) $m, a, c, n$	1	-	$0-b/2$	-



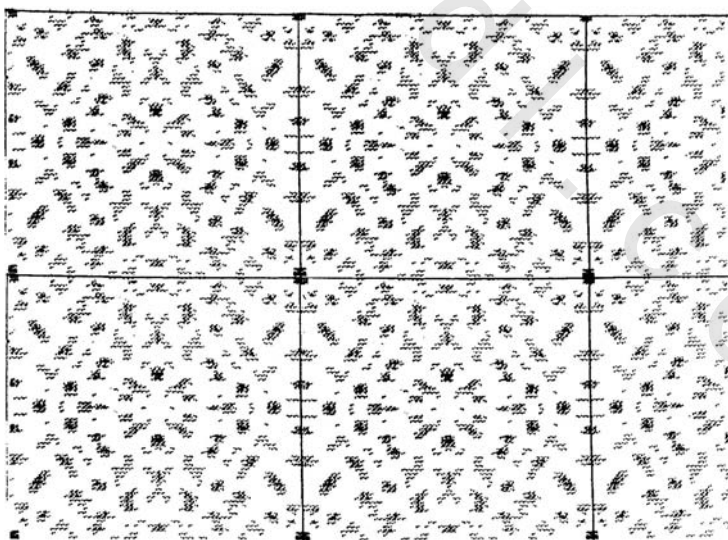
الشكل رقم (٨,٣) : إسقاط أيون أكسالات وتشيل متوجه بنفس المقياس مثل خرائط فورير وباترسون.



الشكل رقم (٤). خريطة باترسون اعتماداً على 19 بياناً على تحليل  $2\text{\AA}$  لأكسالات الأمونيوم أحادية التميؤ.



الشكل رقم (٨,٥). خريطة باترسون اعتماداً على 120 بياناً على تحليل  $1\text{\AA}$ .



الشكل رقم (٨,٦). خريطة باترسون حادة اعتماداً على 28 قيمة من E مرتفعة على تحليل  $0.7\text{\AA}$ .

إن تمثيل دالة باترسون لأسقاط المحور C لأكسالات الأمونيوم مبين في الأشكال من رقم (٤,٨) إلى (٨,٦). لابد لهذه أن تقارن مع تلك في الفصل السابع، التي أعدت من نفس البيانات. إن نموذجاً متوجهاً لأيون الأكسالات من التركيب المنحل يكون معطاء أيضاً على نفس التدريج (الشكل رقم ٨,٣). لقد تم استيقائه باستخدام قطعة من ورق استشفاف باختيار نقطة كأصل، وضع الورقة على التركيب وتحريكها من ذرة إلى ذرة، ترقيم المتجهات لكل ذرة أخرى. ينتج عن الذرات (المتماثلة مركزياً) الستة سنت قمم بشقل منفرد، 12 قمة بشقل ثبائي وقمة بشقل سداسي عند نقطة الأصل. قد تستخدم محاولة دالة دوران في بعدين على خريطة باترسون الأكثر حدة (يكون المطلوب فقط دوران واحداً).

### Exercises تمارين

(١,٨) احسب متجهات باترسون لذرة ثقيلة وحيدة في الزمرة الفراغية  $P2_1/c$ ، الأكثر شيوعاً حتى الآن بين الزمر الفراغية. تكون المواقع المتكافئة العامة هي:

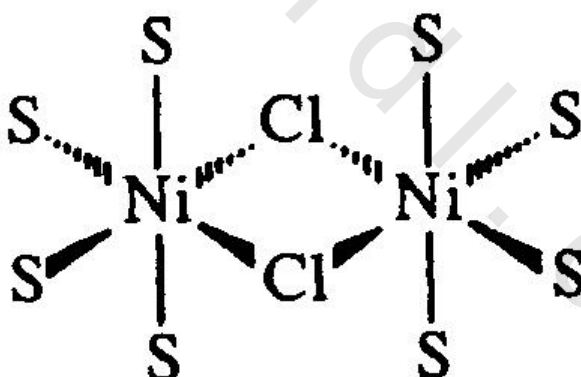
$$\begin{array}{ll} x, y, z & -x, -y, -z \\ & -x, \frac{1}{2} + y, \frac{1}{2} - z \\ & x, \frac{1}{2} - y, \frac{1}{2} + z \end{array}$$

(٢,٨) لبلورة في زمرة فراغية  $P2_1/c$  لها أربع ذرات  $Ru$  لكل خلية وحدة تركيب. تكون القمم الأكبر في خريطة باترسون غير القمة الأصلية هي كالتالي:

$u$	$v$	$w$	Height
0.000	0.044	0.500	540
0.449	0.500	0.662	520
0.447	0.455	0.161	270

ما هي القمم الأخرى التي سيكون لها علاقة بهذه بواسطة تماثل تشيد باترسون (C<sub>2h</sub>, 2/m)؟ أحسب الموضع لأي ذرة Ru واحدة في الخلية وحدة التركيب. تكون أضلاع الخلية كلها حوالي 15 Å و β بالقرب من 90°؛ هل يمكن أن يكون هذا المركب متبلمراً ثنائياً بقنطرة كلور؟

(٨,٣) شظية من بحث باترسون مبينة في الشكل رقم (٨,٧). يفترض لذرات النيكل أن تكون متناسقة ثنائية السطوح وكل الذرات الأخرى قد تقابل على أنها S لهذا الغرض وبطول رابطة S - Ni = 2.4 Å. احسب حزمة من إحداثيات متعامدة لهذه الذرات من الشظية.



الشكل رقم (٨,٧). بحث شظية باترسون للتمرین (٨,٣).

(٨,٤) مركب يكون متعامد الأضلاع بثماني ذرات ثقيلة في الخلية وحدة تركيب hkl, h+k=2n. الشروط للانعكاسات لتكون مرصودة هي:

و  $h0l,l=2n_0$ . بين أن هذا يكون متوافقاً مع الزمرة الفراغية  $Cmc2_1$ ،  $C2cm$  (ووضع بدليل من  $Abm2$  مع محاور مستبدلة) و  $Cmcm$ . كيف يكون بالإمكان لدالة باترسون أن تفيد في التمييز بين الزمرتين الفراغيتين اللا متماثلتين مركزياً. تكون المواقع المكافئة العامة هي كالتالي:

$$Cmc2_1: (0,0,0) \quad x, y, z \quad -x, -y, \frac{1}{2} + z \quad x, -y, \frac{1}{2} + z \quad -x, y, z \\ \text{and } (\frac{1}{2}, \frac{1}{2}, 0) +$$

$$C2cm: (0,0,0) \quad x, y, z \quad x, y, \frac{1}{2} - z \quad x, -y, \frac{1}{2} + z \quad x, -y, -z \\ \text{and } (\frac{1}{2}, \frac{1}{2}, 0) +$$

$$Cmcm: (0,0,0) \quad x, y, z \quad -x, -y, \frac{1}{2} + z \quad x, -y, \frac{1}{2} + z \quad -x, y, z \\ \text{and } (\frac{1}{2}, \frac{1}{2}, 0) + \quad -x, -y, -z \quad x, y, \frac{1}{2} - z \quad -x, y, \frac{1}{2} - z \quad x, -y, -z$$